



FIG. 1A

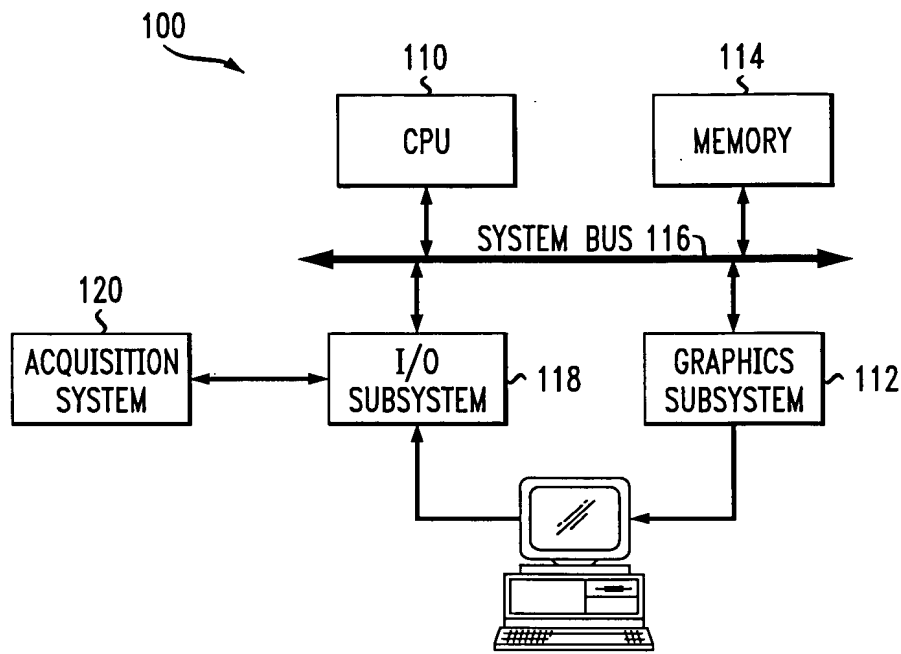
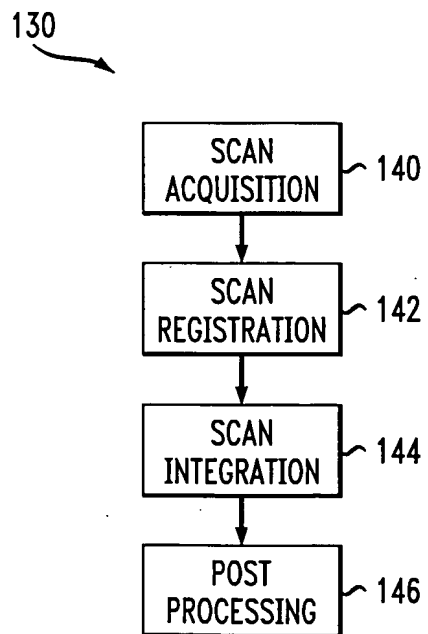
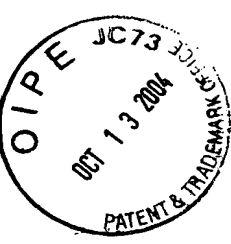


FIG. 1B





2/16
Y0R9-2000-0084

FIG. 1C

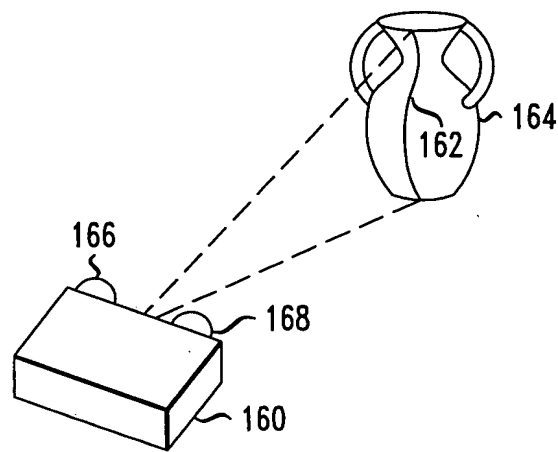


FIG. 1D

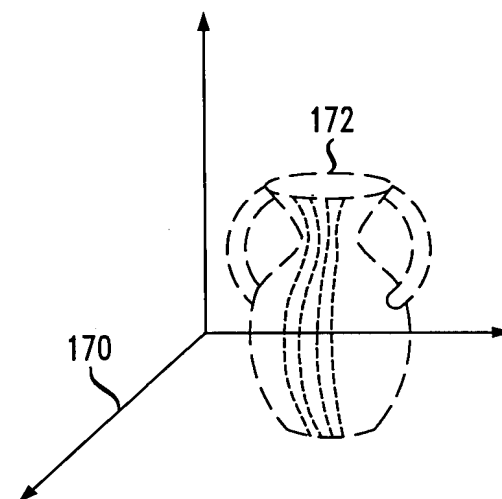


FIG. 1E

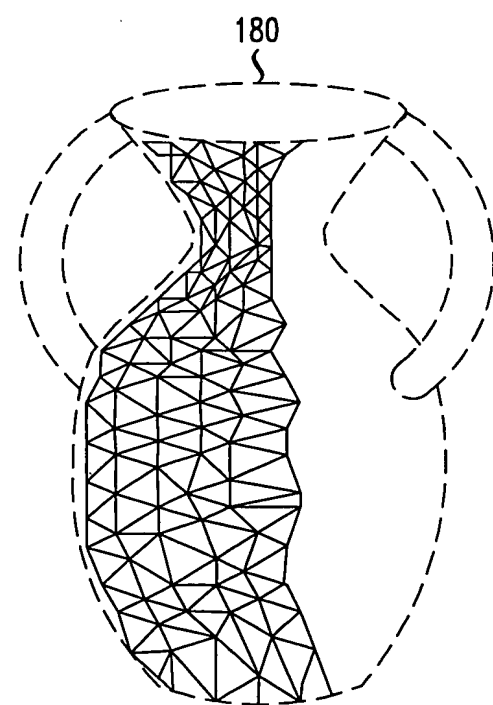
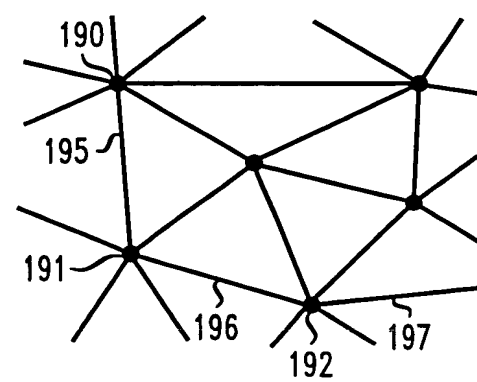


FIG. 1F



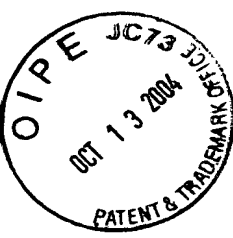
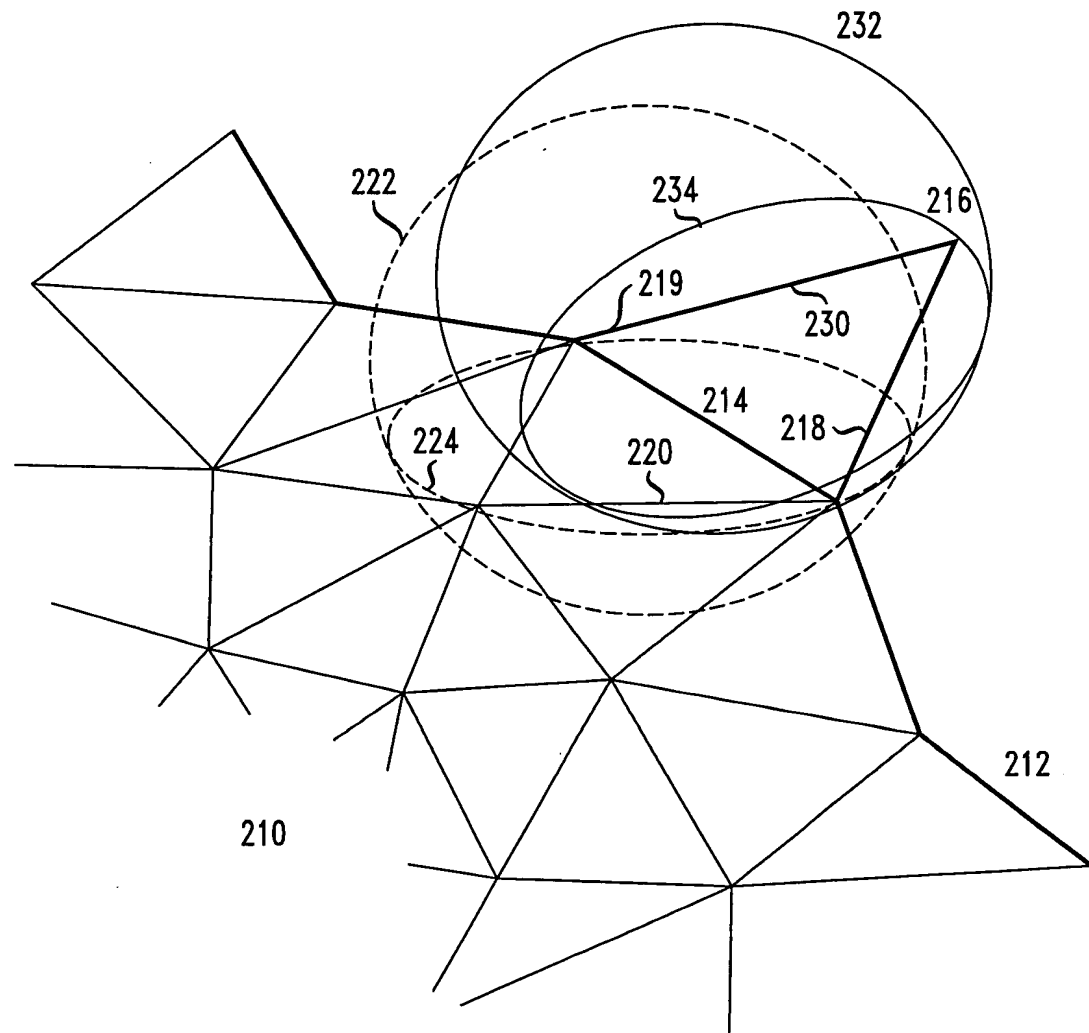


FIG. 2A



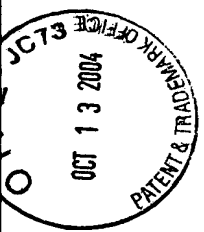
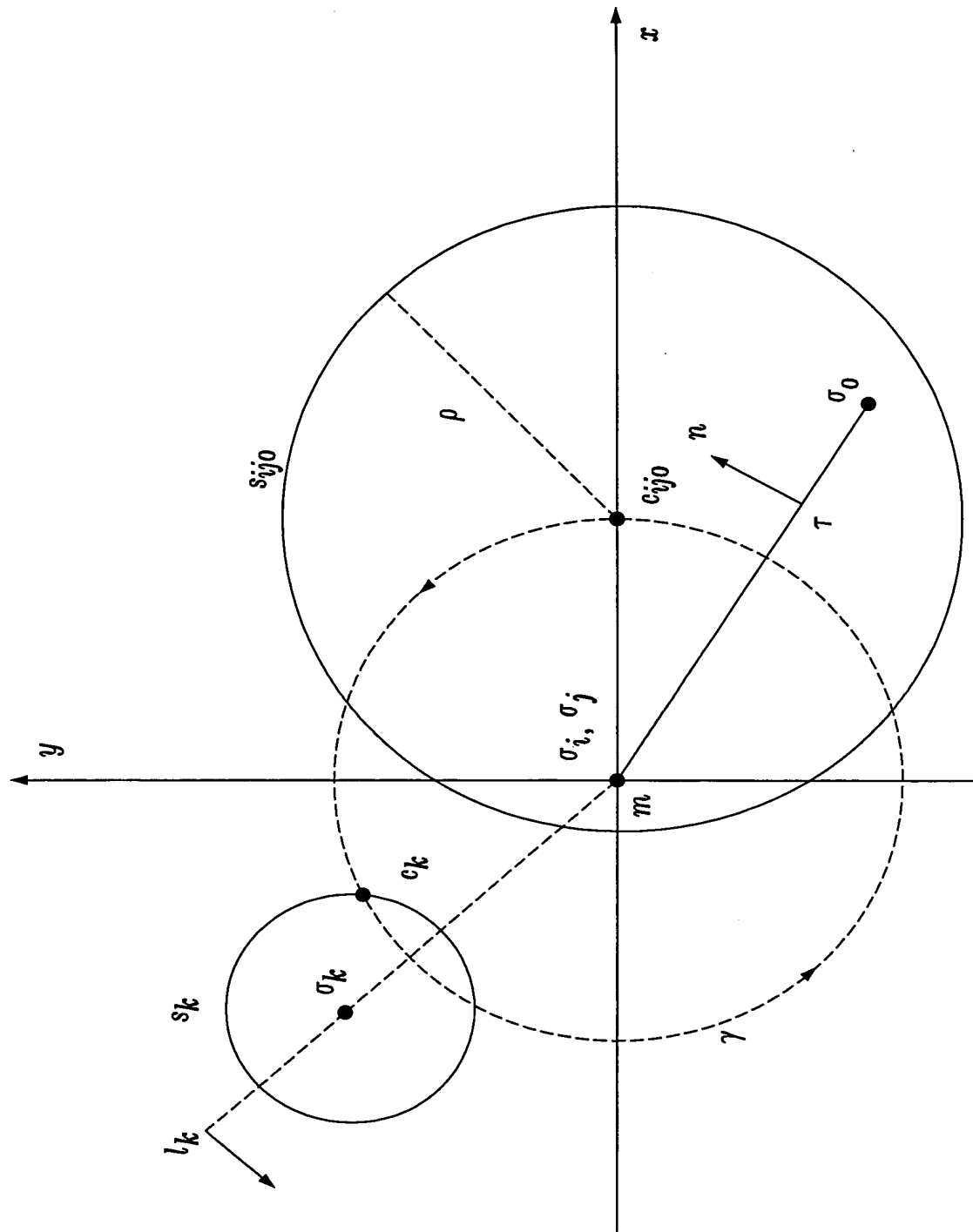


FIG. 2B



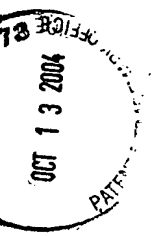


FIG. 2C

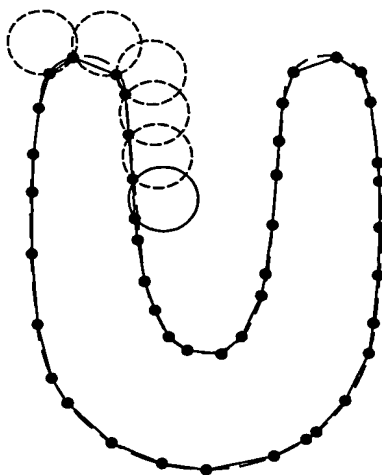


FIG. 2D

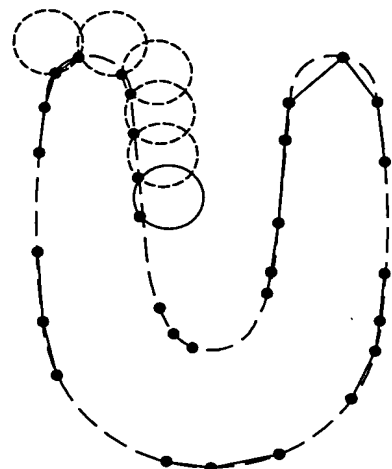
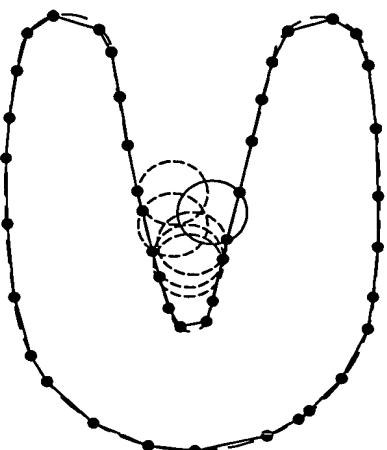


FIG. 2E



6/16
Y0R9-2000-0084



FIG. 2F

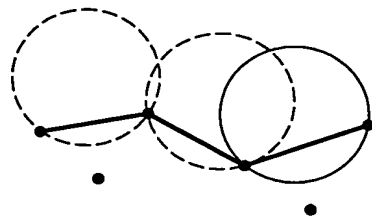


FIG. 2G

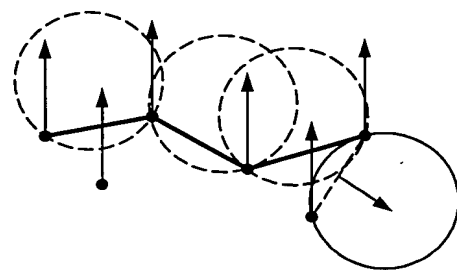


FIG. 2H

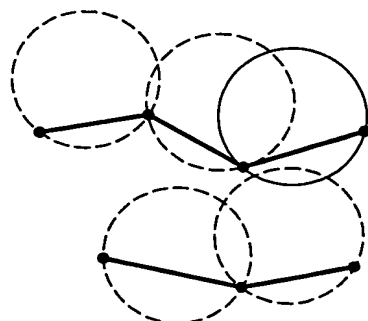




FIG. 3

300

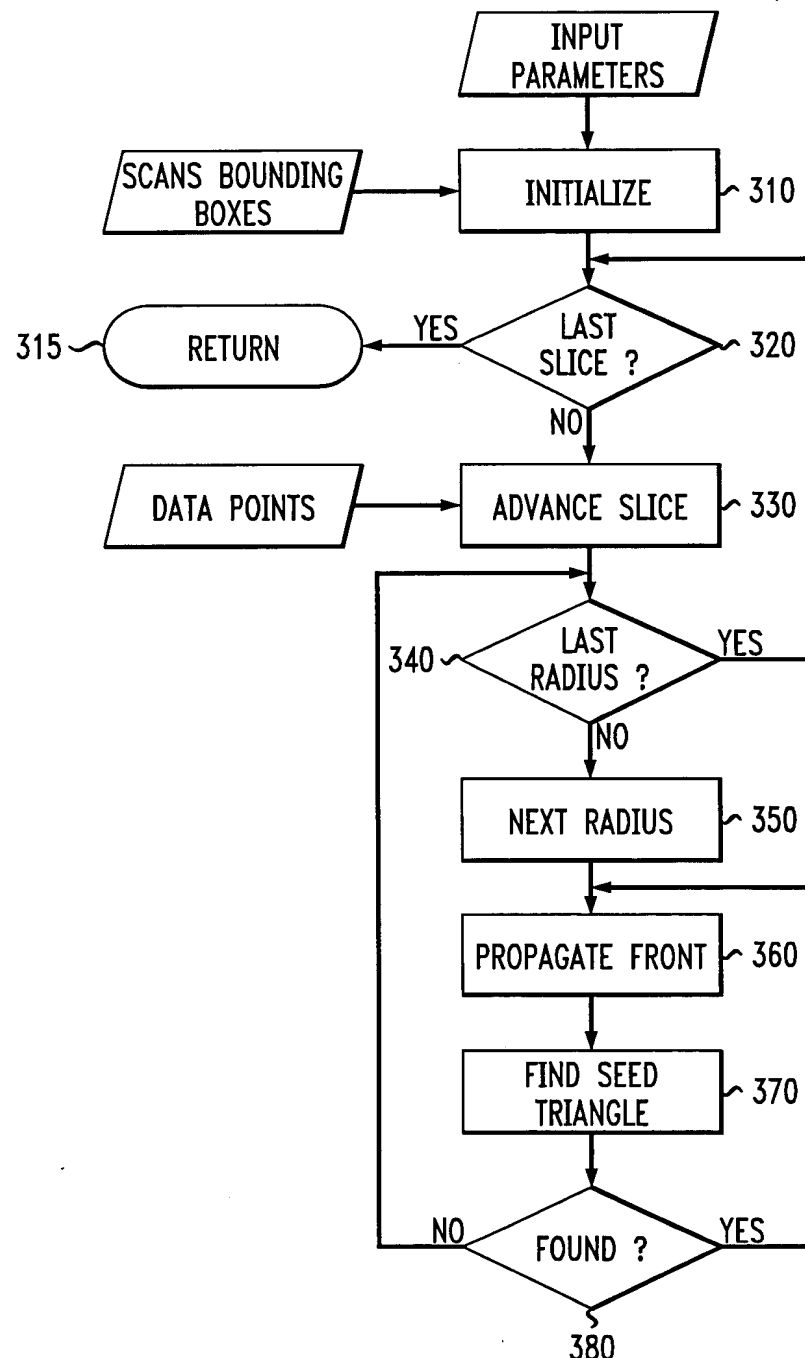




FIG. 4

400

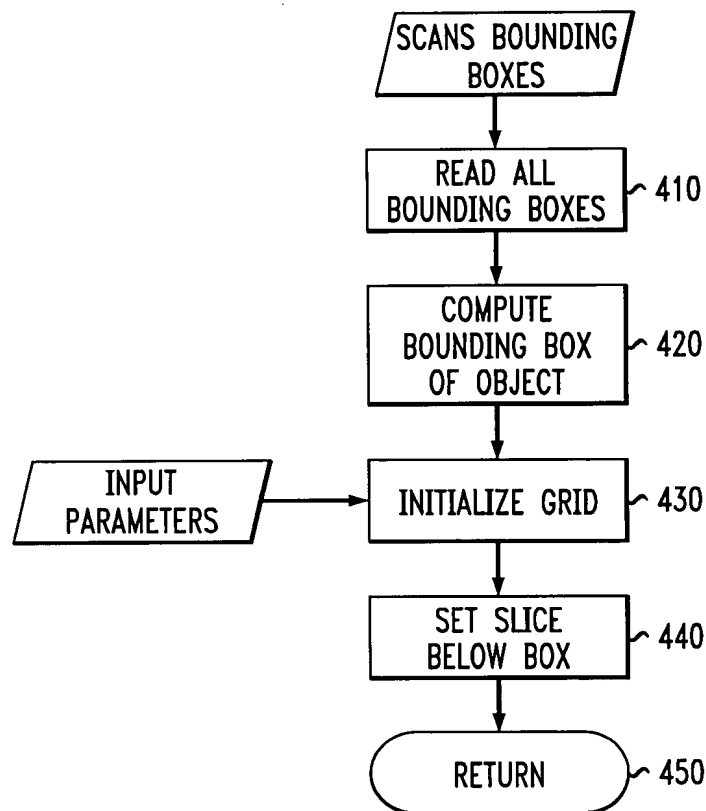




FIG. 5

500

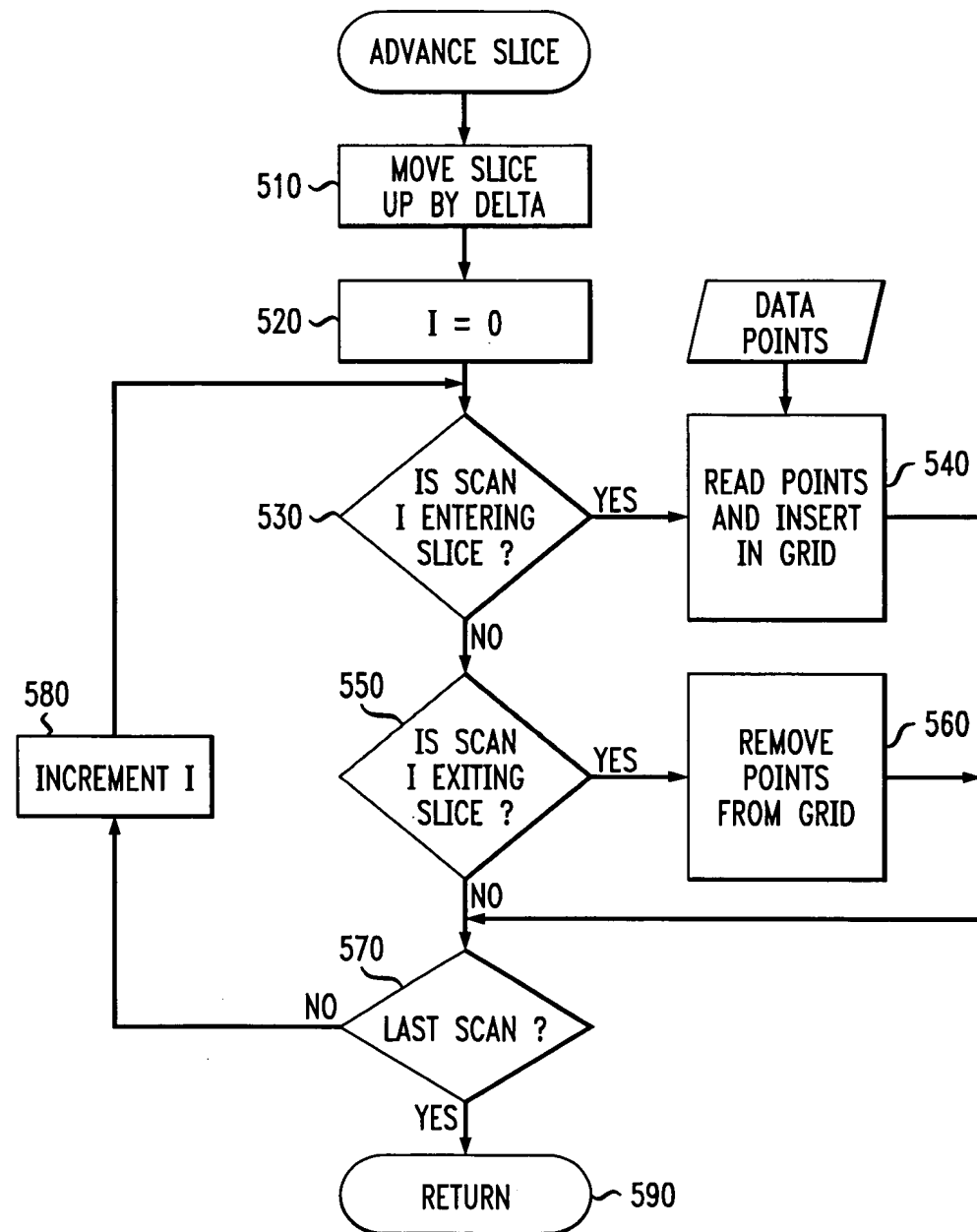




FIG. 6

600

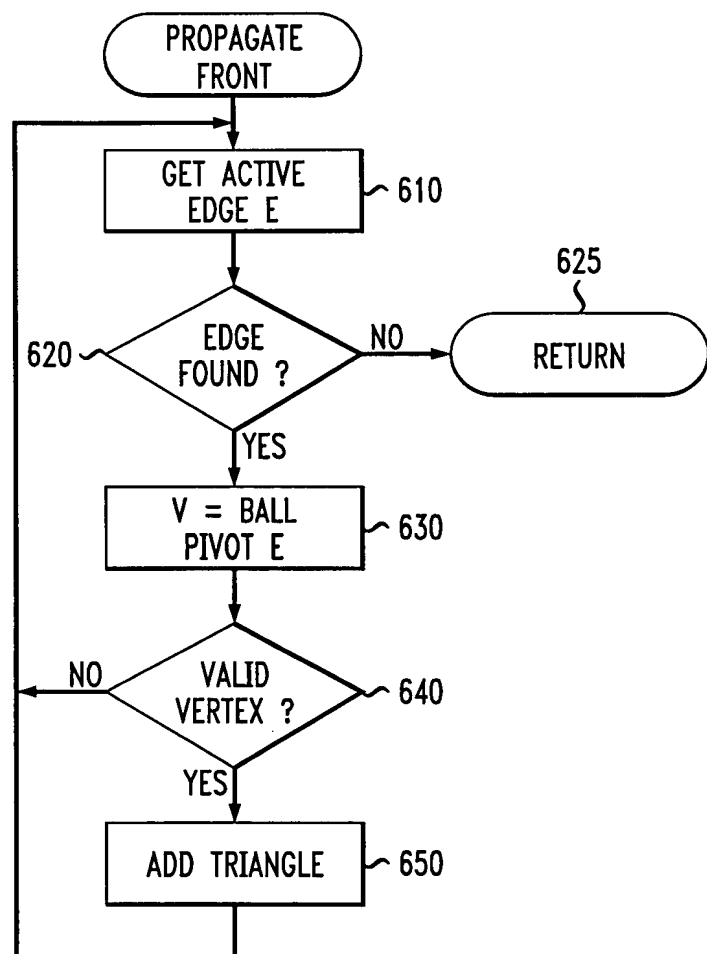
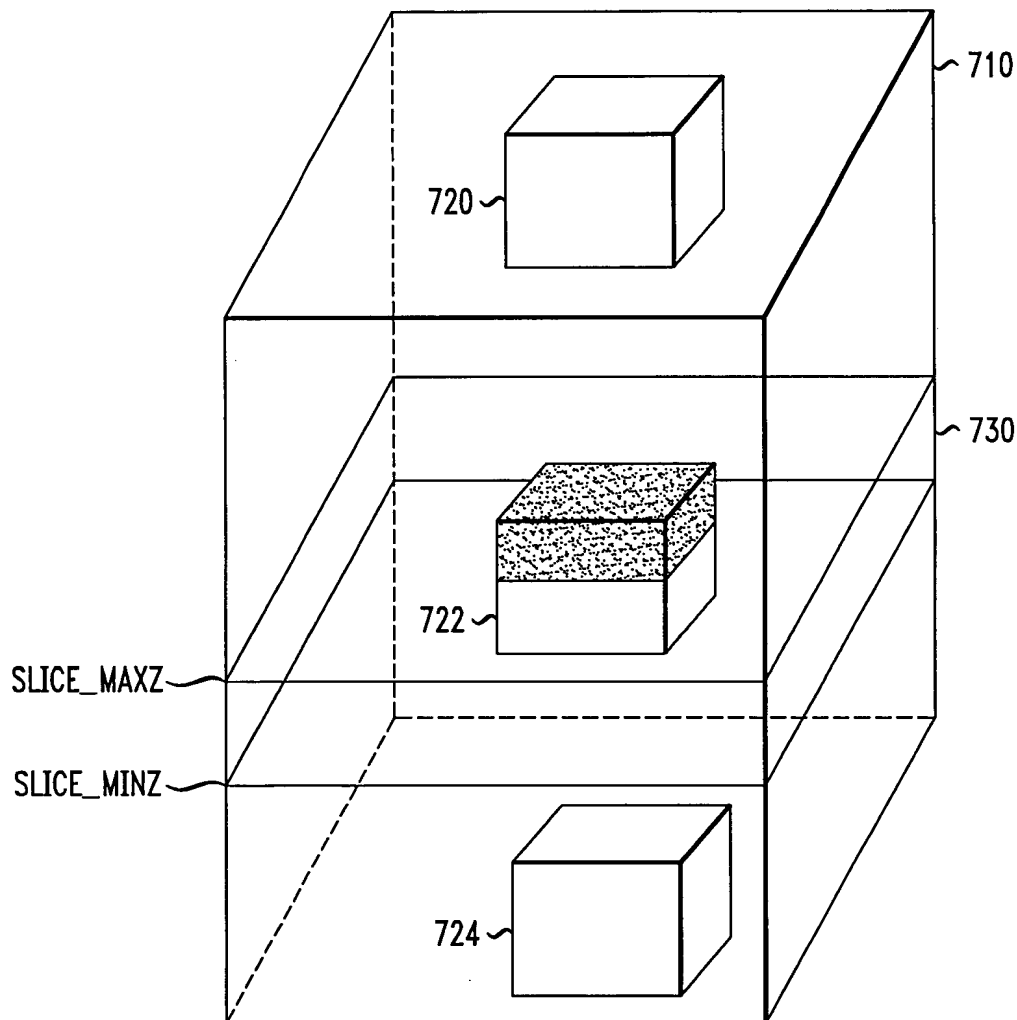




FIG. 7



12/16
YOR9-2000-0084

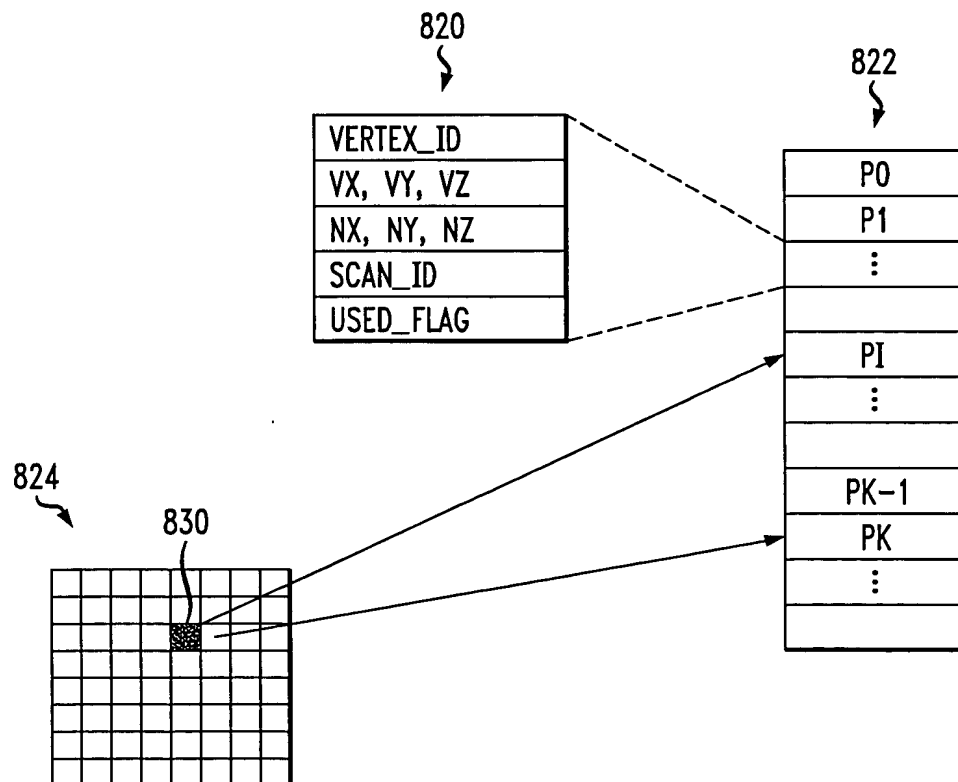
OCT 1 3 2004

FIG. 8A

810

VX0	YV0	ZV0
NX0	NY0	NZ0
VX1	YV1	ZV1
NX1	NY1	NZ1
⋮	⋮	⋮

FIG. 8B



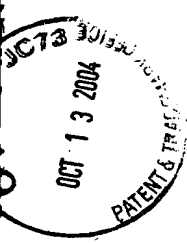


FIG. 9A

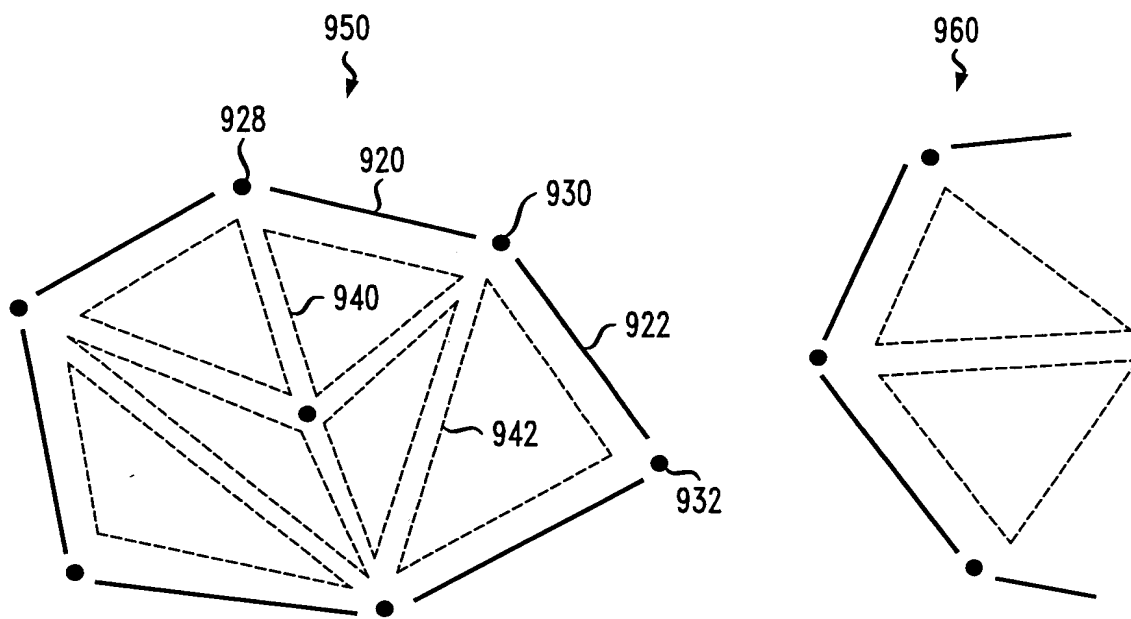


FIG. 9B

910

VERTEX_ID
LOOP_ID
EDGE_IN
EDGE_OUT
SCAN_ID
VX, VY, VZ

912

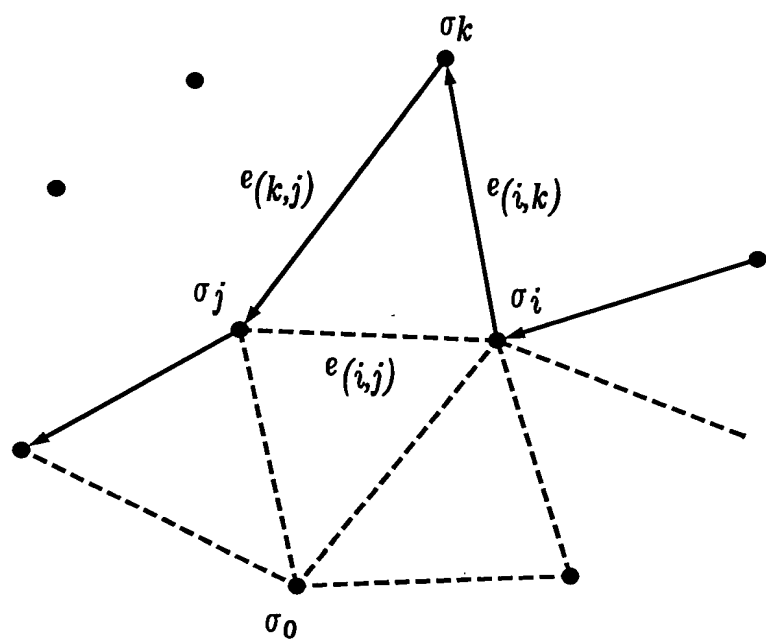
EDGE_ID
LOOP_ID
VERTEX_FROM
VERTEX_TO
OPP_VERTEX_ID
OVX, OVY, OVZ
TNX, TNY, TNZ
CX, CY, CZ

914

EDGE_FIRST



FIG. 10



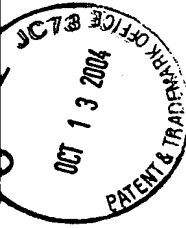


FIG. 11A

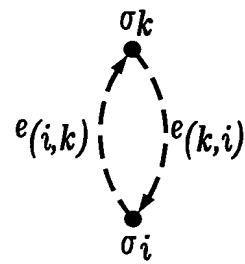


FIG. 11B

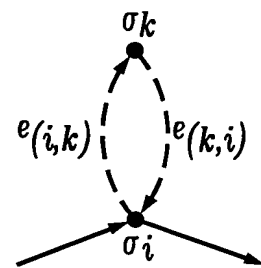


FIG. 11C

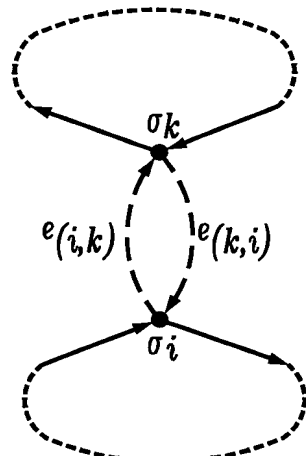
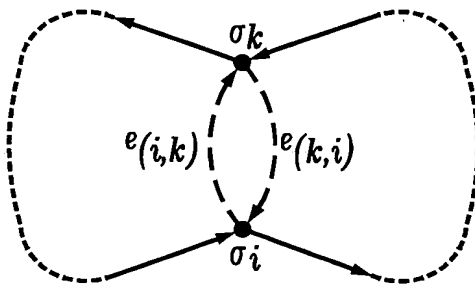
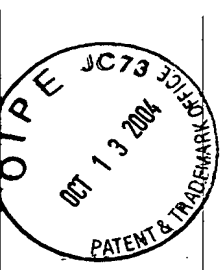


FIG. 11D





16/16
Y0R9-2000-0084

FIG. 12A

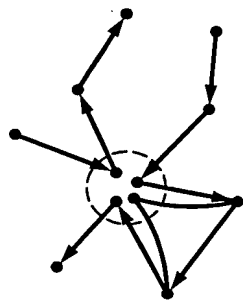


FIG. 12B

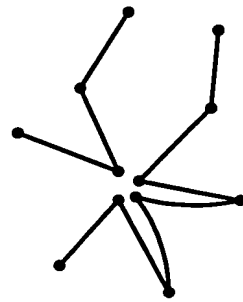


FIG. 12C

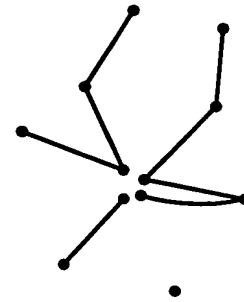


FIG. 12D

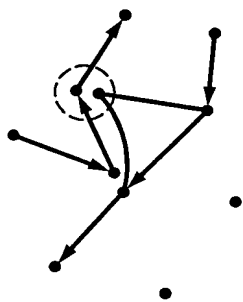


FIG. 12E

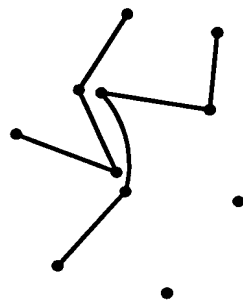


FIG. 12F

